# Erweiterungsmöglichkeiten der Transient Hot Bridge Messmetode (THB) durch Finite Elemente Analyse



Dr. Heinz Renner Vielitzer Straße 43 95100 Selb GERMANY

Tel.: 0049 9287 880 42

Email: h.renner@linseis.de

#### In Zusammenarbeit mit:

Prof. Matthias Stripf,

M.Sc. Jochen Gaiser

Hochschule Karlsruhe

Inst. f. Kälte-, Klima- und Umwelttechnik

Moltkestr. 30

76133 Karlsruhe

### Messung der Wärmeleitfähigkeit: Abweichungen bei unterschiedlichen Messmethoden

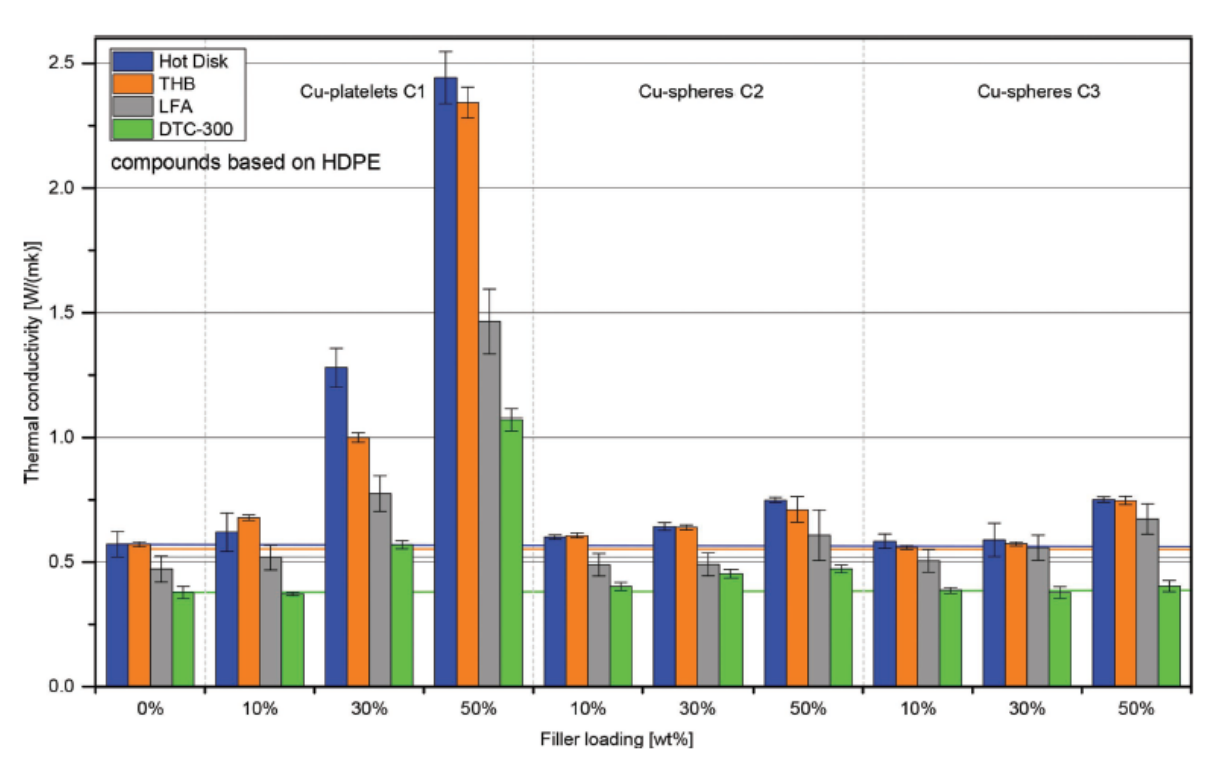


Figure 9. Effect of the filler geometry and concentration on the TC of HDPE-based compounds as determined by Hot Disk (isotropic measurement module), THB (BK7 calibration), LFA (radiation evaluation model), and DTC-300.

H. Weingrill, W. Hohenauer, K. Resch-Fauster, C. Zauner, Analyzing Thermal Conductivity of Polyethylene-Based Compounds Filled with Copper, Macromol. Mater. Eng. 2019, 1800644



## Gründe für Abweichungen

- Probenvorbereitung
- Messparamter
- Auswertung der Messdaten
- Komplexer Wärmetransport in der Probe (z.B. Anisotropie, Inhomogenitäten etc.)



# Einfluss der Messparameter

#### Viele Fehlerquellen wie z.B.:

- **LFA**: Pulsdauer- und Pulsenergie
- Heizdrahtmethoden: Heizleistung, Messdauer
- Stationäre Methoden: Temperaturgradient, Messdauer



## Auswertung der Messaten

#### Basiert auf Modellen mit Korrekturen und Annahmen

#### LFA:

- Korrekturen für Pulsdauer- und Pulsenergie
- Korrekturen für Wärmeverluste
- Korrekturen für Wärmestrahlung

. . .

#### Heizdrahtmethoden:

 Annahmen und spezifische Randbedingungen bei der Lösung der Wärmeflussgleichungen



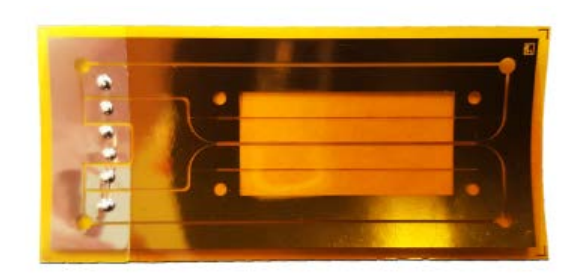
#### Elimierung dieser Fehlerquellen

#### Auswertung der Rohdaten mit Finite Elemente Analyse

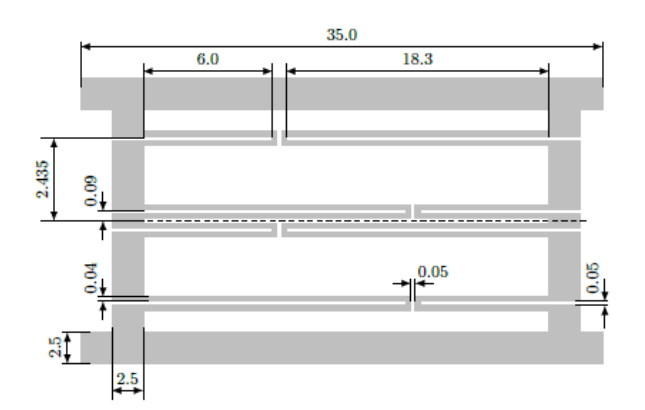
- Entwicklung eines Simulationsmodells für THB Methode
- Vergleich simulierter Daten und Messdaten
- Evaluierung mittels Referenzstandards
- Erweiterungen des Modells für anisotrope Materialien und komplexe Messaufgaben

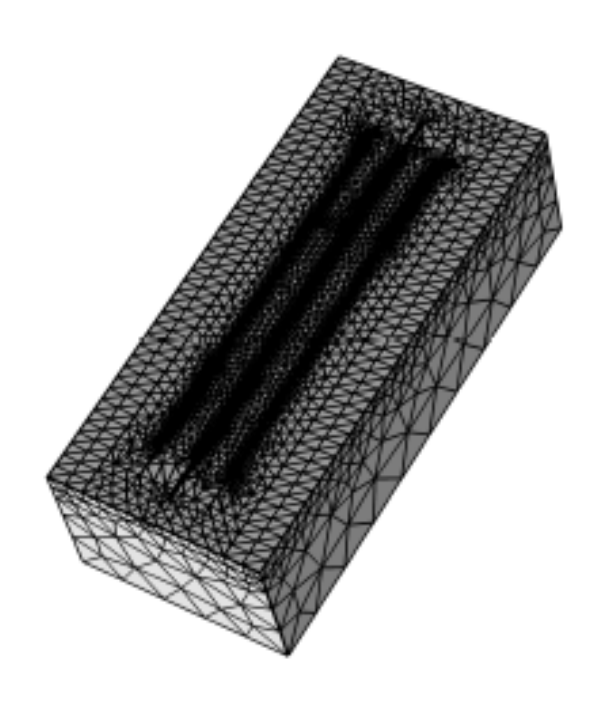


### **THB Simulations modell**



THB-Sensor

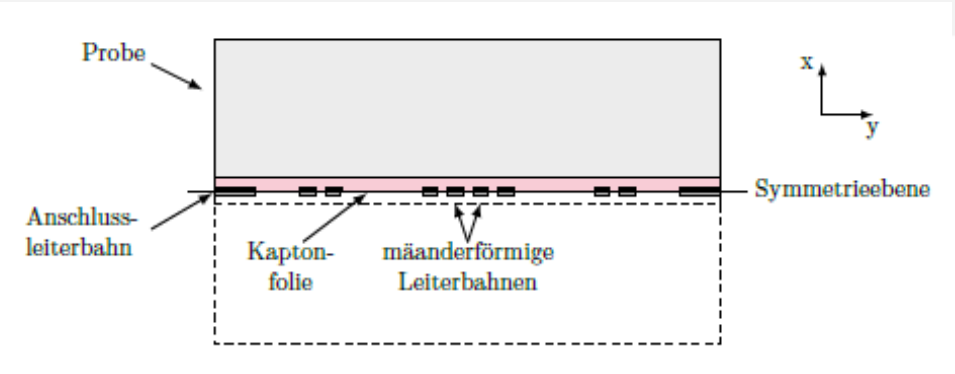




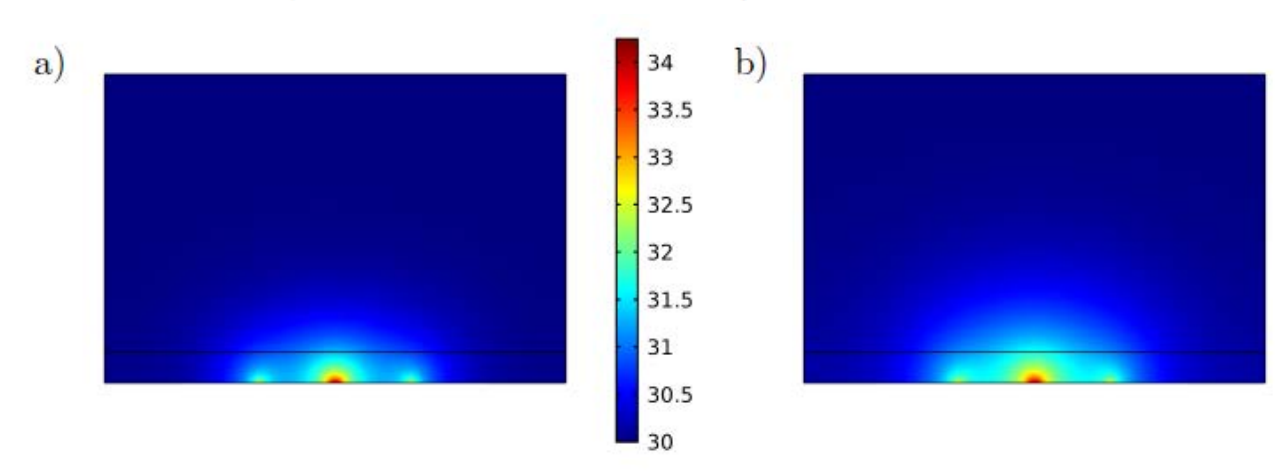
Vernetztes Simulationsmodell



### **THB Simulations modell**

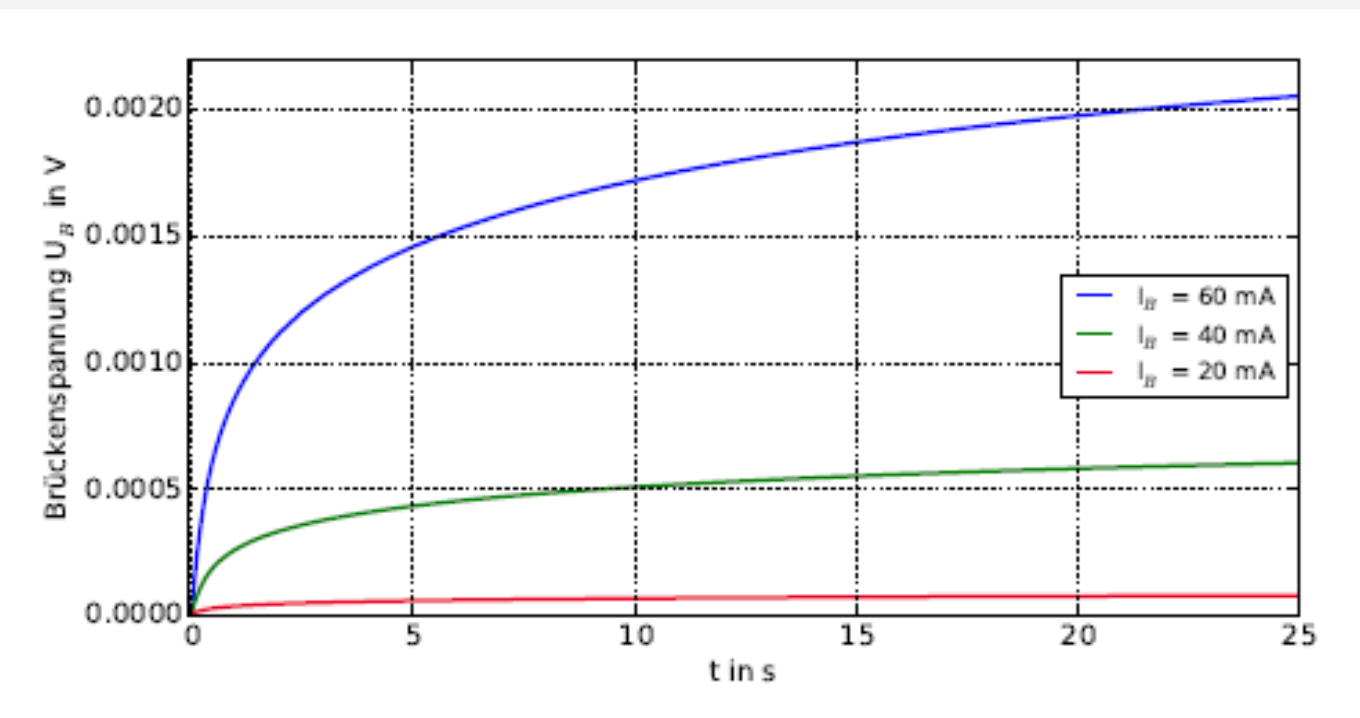


Qualitativer Schnitt des Sensormodells in der xy-Ebene an der Sensormitte



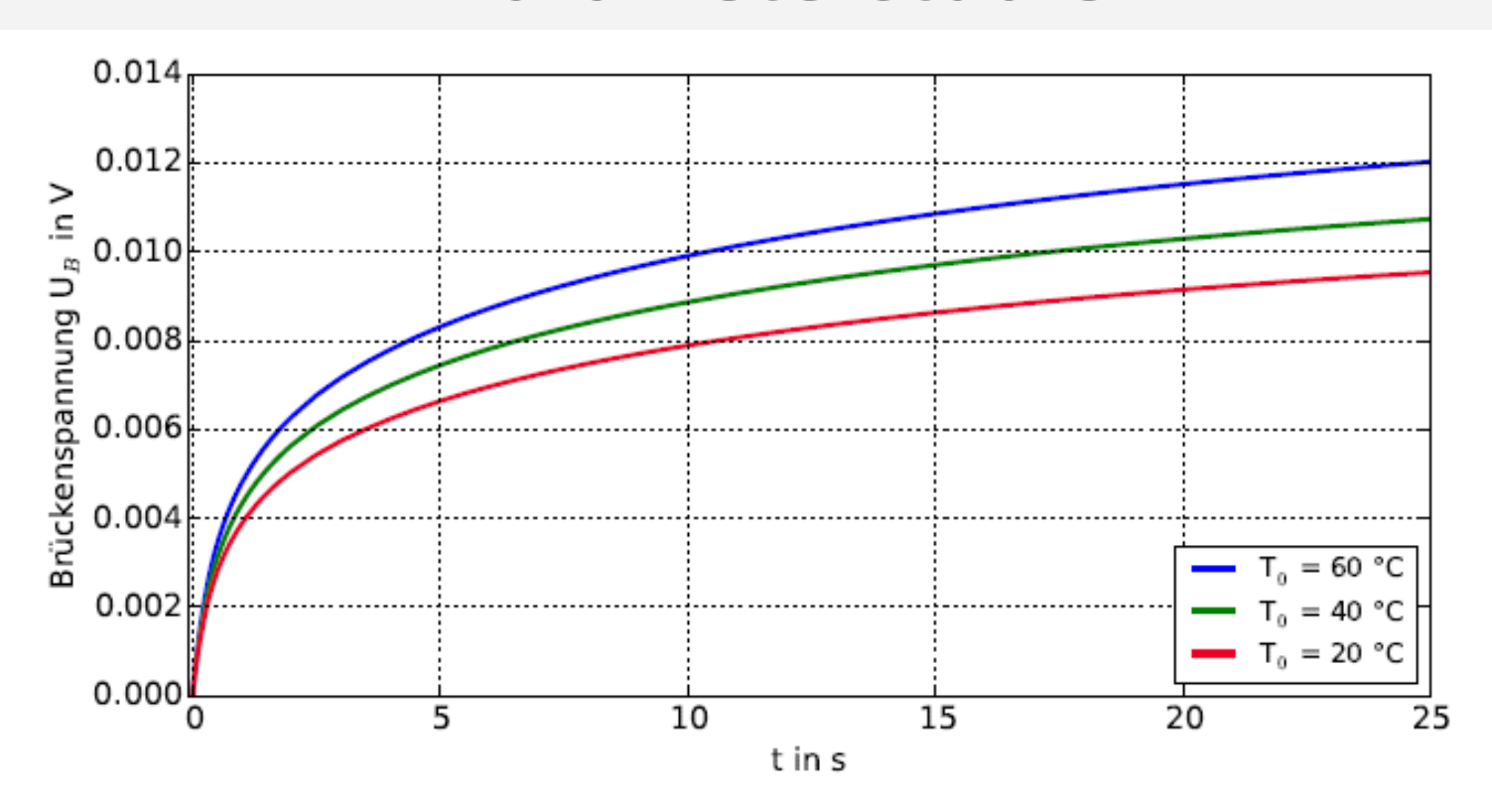
Temperaturverteilung der xy-Ebene an der Sensormitte nach 25 s, mit  $I_B$  = 50 mA und  $T_0$  = 30°C in Abhängigkeit von der Probenwärmeleitfähigkeit: in a)  $\lambda_{Probe}$  = 0.2  $\frac{W}{mK}$  und in b)  $\lambda_{Probe}$  = 0.4  $\frac{W}{mK}$ 





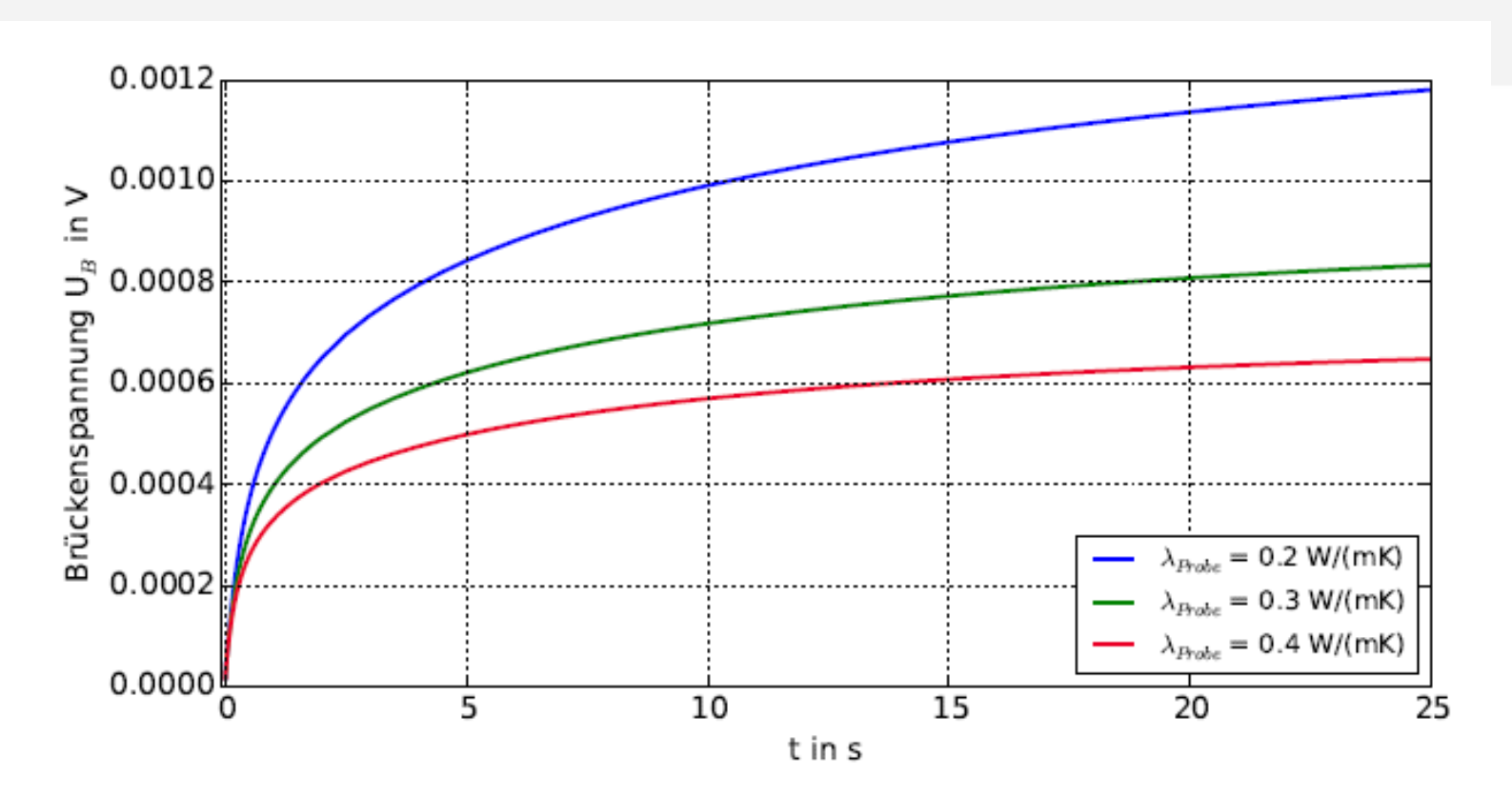
Brückenspannungsverlauf von PMMA abhängig vom Messstrom, mit  $T_0=30~^{\circ}\mathrm{C}$ 





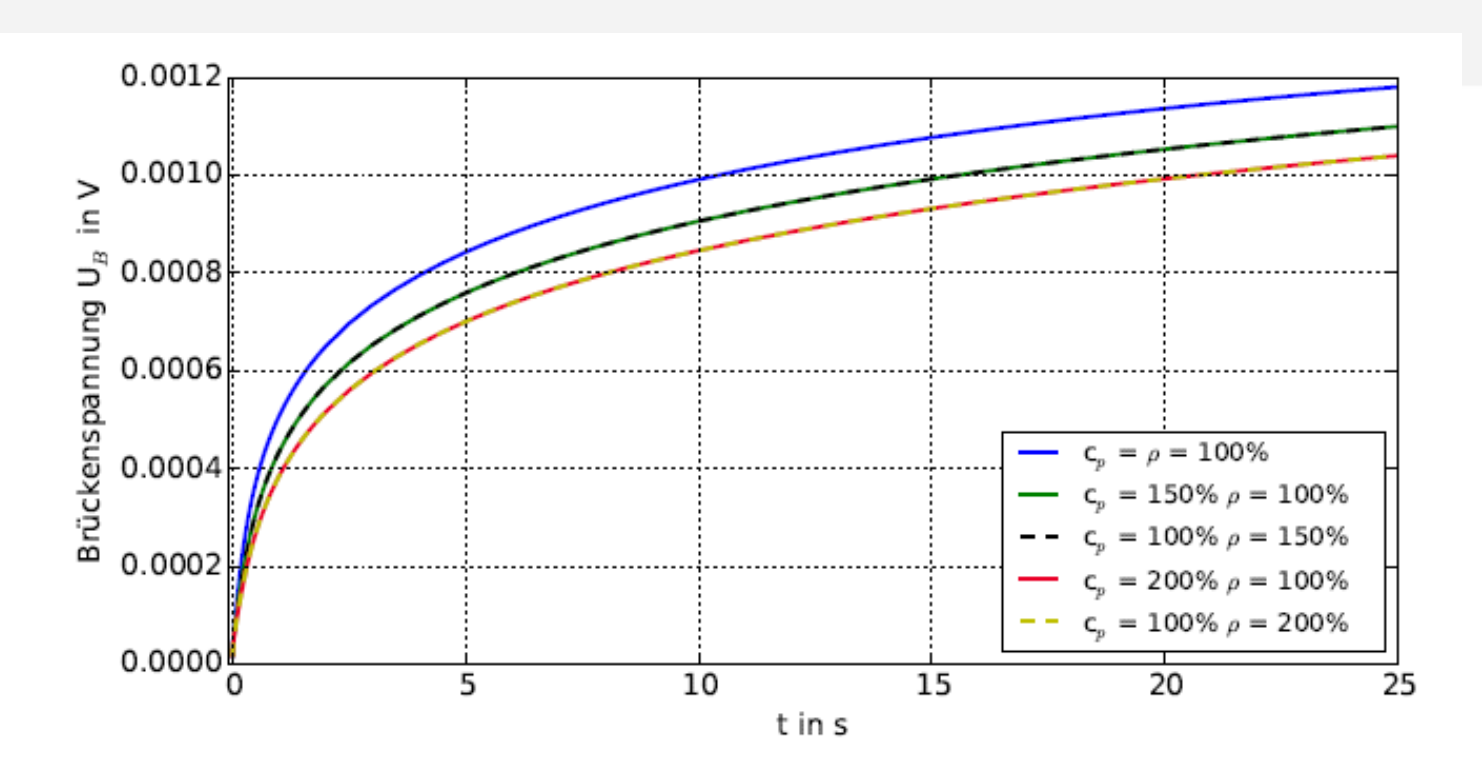
Brückenspannungsverlauf in Abhängigkeit von der Starttemperatur, mit  $I_B=50~\mathrm{mA}$  und konstanten Probenstoffdaten von PMMA bei 20 °C





Brückenspannungsverlauf abhängig von der Wärmeleitfähigkeit  $\lambda_{Probe}$ , mit  $T_0=30$  °C und  $I_B=50$  mA

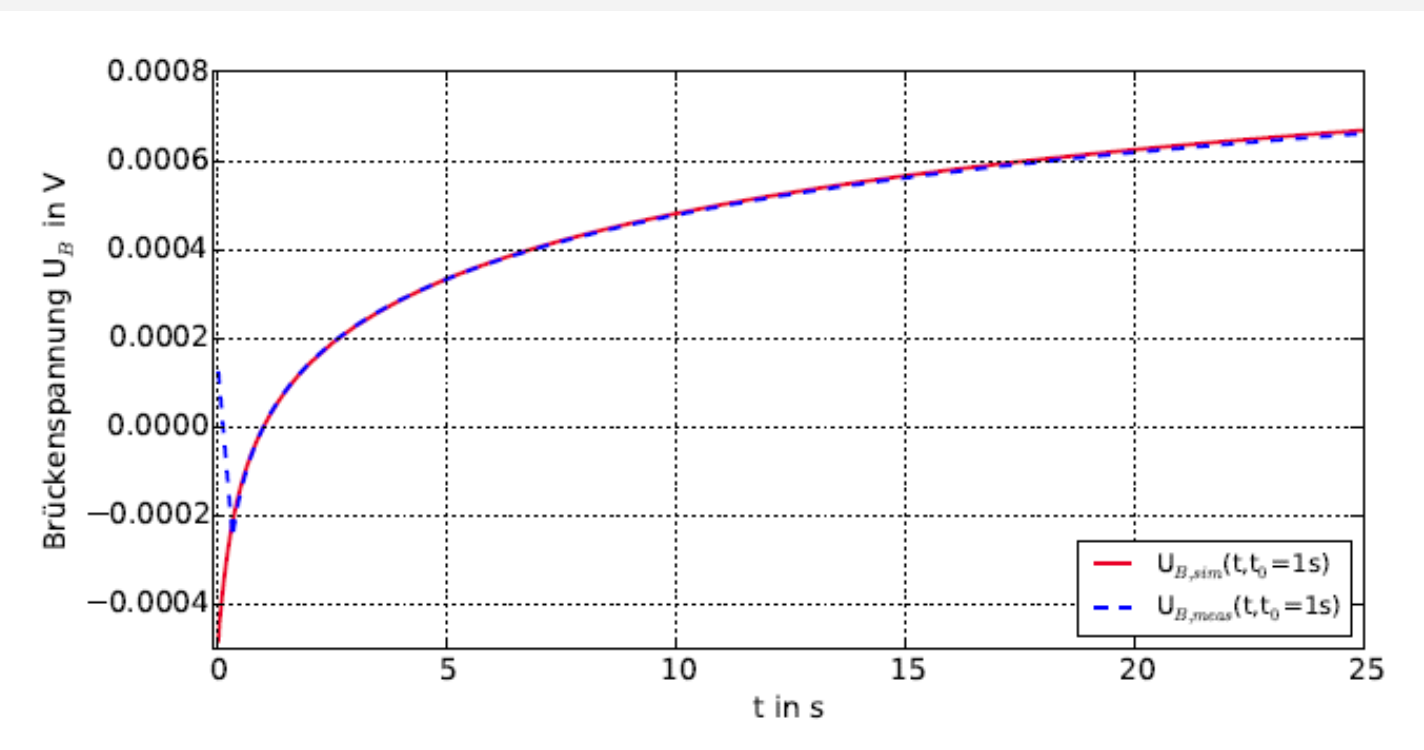




Brückenspannungsverlauf abhängig von der Dichte und Wärmekapazität, mit  $T_0=30~^{\circ}\mathrm{C}$  und  $I_B=50~\mathrm{mA}$ 



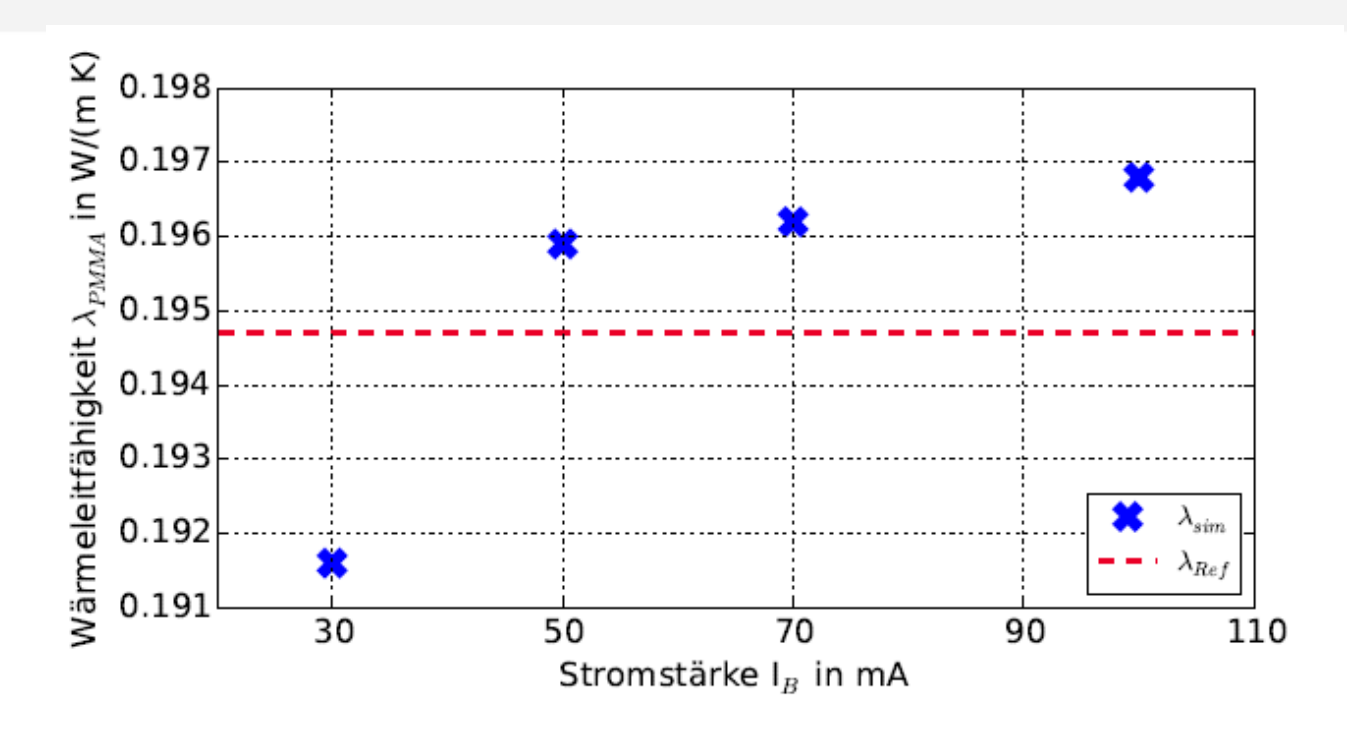
# Messbeispiele - PMMA



Vergleich des simulierten und gemessenen Brückenspannungsverlauf unter Berücksichtigung der Nullpunktverschiebung mit  $T_0=30\,^{\circ}\mathrm{C}$  und  $I_B=50\,mA$ 



## Messbeispiele - PMMA

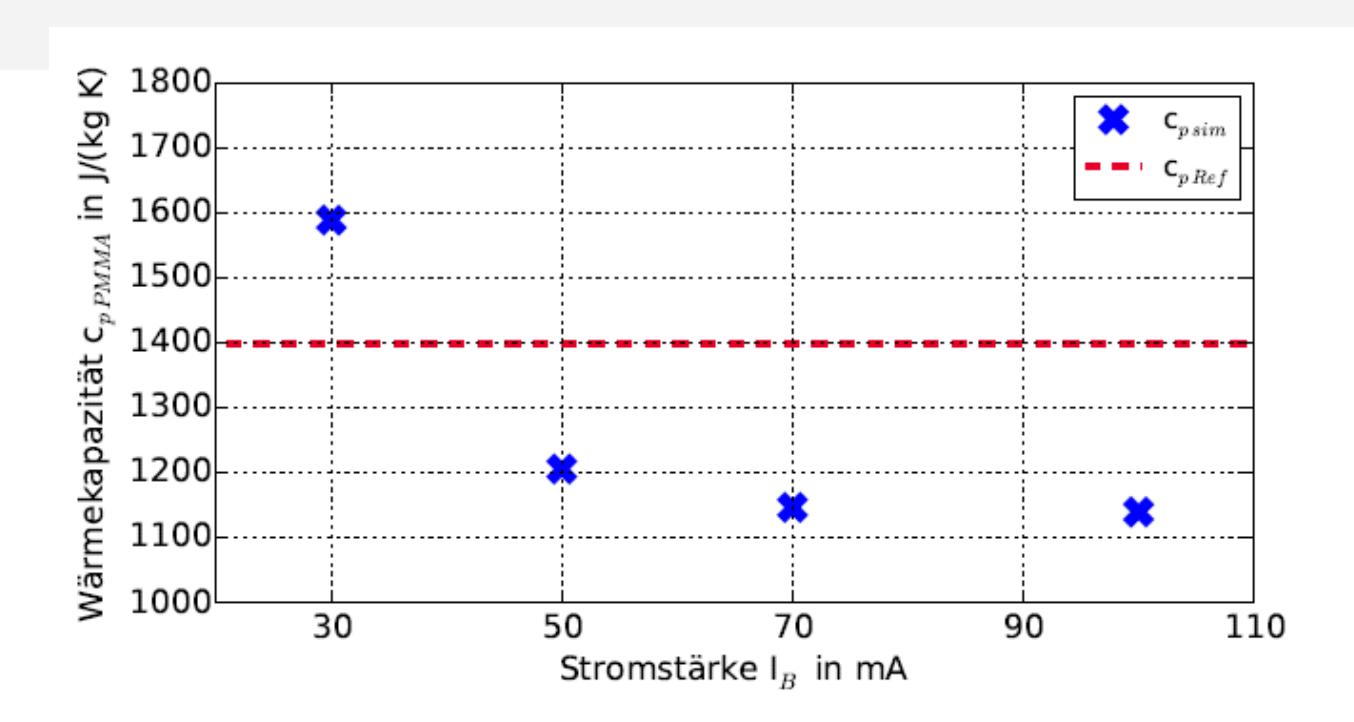


Referenzwerte und berechnete Wärmeleitfähigkeiten von PMMA in Abhängigkeit der Messstromstärke

Abweichungen < 3% auch bei ungünstigen Messparamtern!



## Messbeispiele - PMMA



Referenzwerte und berechnete Wärmekapazitäten von PMMA



## Ergebnisse der FEM- Auswertungen

- Hohe Genauigkeiten für die Berechnung der Wärmeleitfähigkeit
- Unabhängigkeit der Messergebnisse von Messparametern in weiten Bereichen



FEM Auswertungen

# ERWEITERUNGSMÖGLICHKEITEN FÜR KOMPLEXERE ANWENDUNGEN



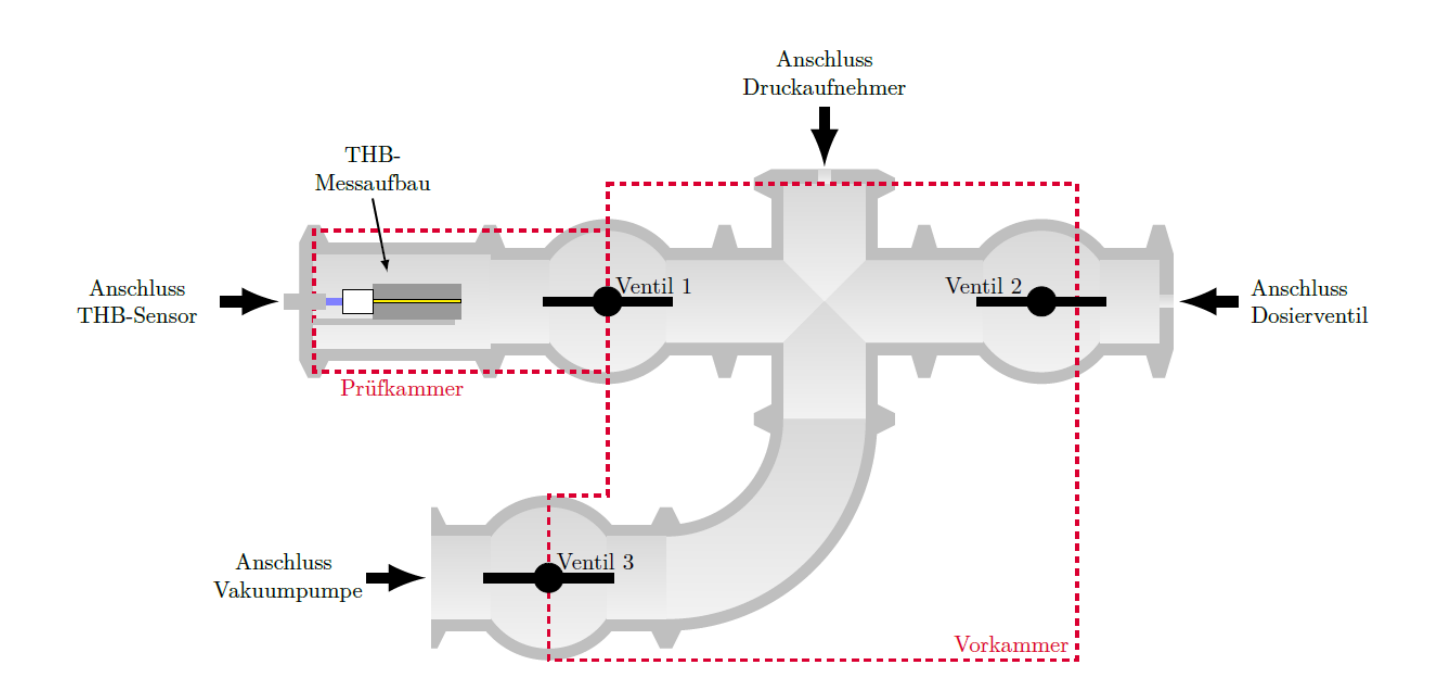
# Beispiel 1: Adsorption - Beladungsabhängige Wärmeleitfähigkeit von Aktivkohle



Spannvorrichtung zum Anpressen von Aktivkohle an einen THB Sensor



# Beispiel 1: Adsorption - Beladungsabhängige Wärmeleitfähigkeit von Aktivkohle



Messaufbau zur Untersuchung der Adsorption von Methanol an Aktivkohle

# Beispiel 1: Adsorption - Beladungsabhängige Wärmeleitfähigkeit von Aktivkohle

#### Erweiterung des Simulationsmodells

• Beladungsänderungen durch Temperaturänderungen

$$rac{\partial X_{ist}}{\partial t} = k_s \, A_p \, (X_{soll} - X_{ist}), \, ext{mit} \qquad k_s \, A_p = rac{15 \, D_{ad}}{r_p^2}$$

Beladungsänderung

 Berücksichtigung der Energieänderung im Korn des Adsorbens und der Massenänderung durch Quell- und Senkterme

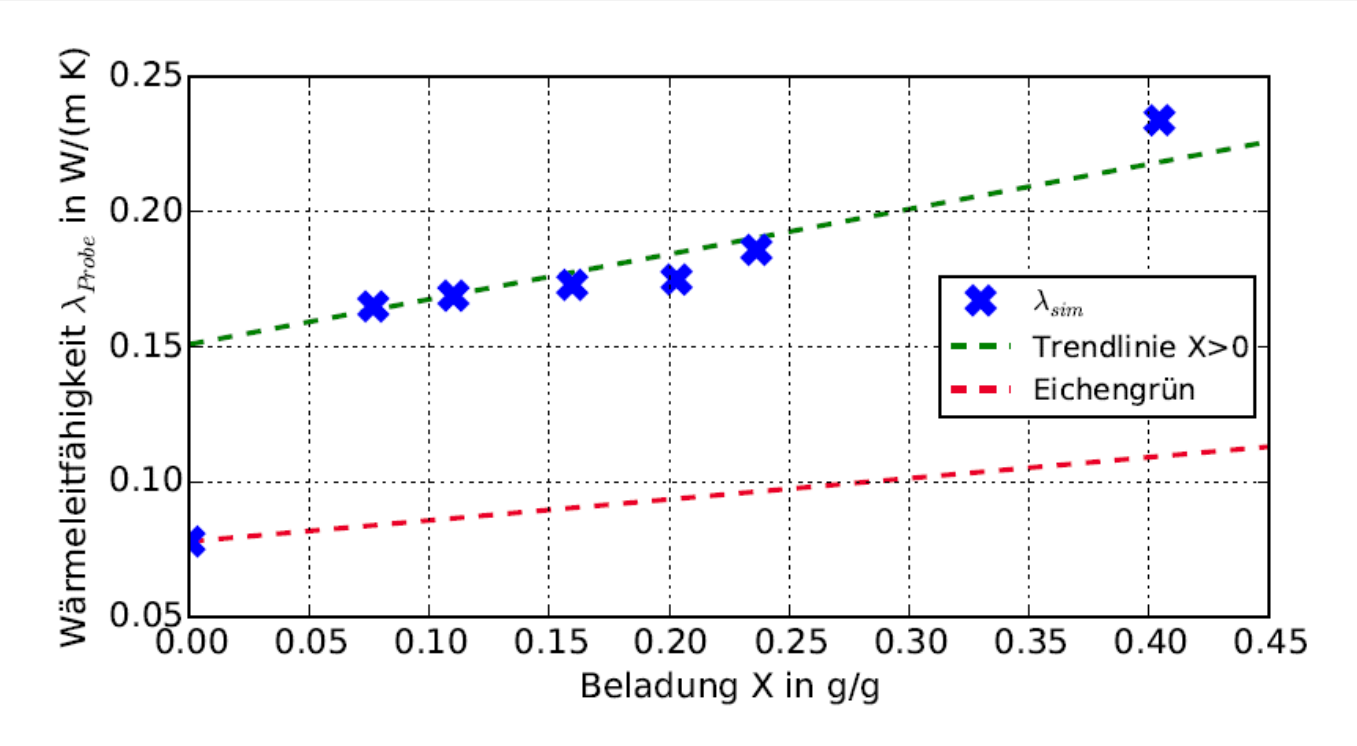
$$\begin{split} \dot{q}_{ad} &= h_{ad} \, \rho_{Ads}^{tr} \, \frac{\partial X_{ist}}{\partial t} \\ h_{ad} &= A + h_{evap} \end{split} \qquad \qquad \frac{\partial m}{\partial t} = \frac{\rho_{Ads}^{tr}}{M_{Adb}} \, \frac{\partial X_{ist}}{\partial t}$$

Änderung Adsorptionspotenzial Masseänderung

Masterarbeit Jochen Gaiser, "Transient Hot Bridge Verfahren -Tool-Entwicklung zur optimierten Auswertung der Wärmeleitfähigkeit und Wärmekapazität poröser Materialien", Hochschule Karlsruhe, 2016



# Beispiel 1: Adsorption – Beladungsabhängige Wärmeleitfähigkeit



Beladungsabhängige Wärmeleitfähigkeit der Aktivkohle JHS400F in Abhängigkeit von der Beladung bei  $T_0 = 30\,^{\circ}C$ 



# Beispiel 2: Anisotropie

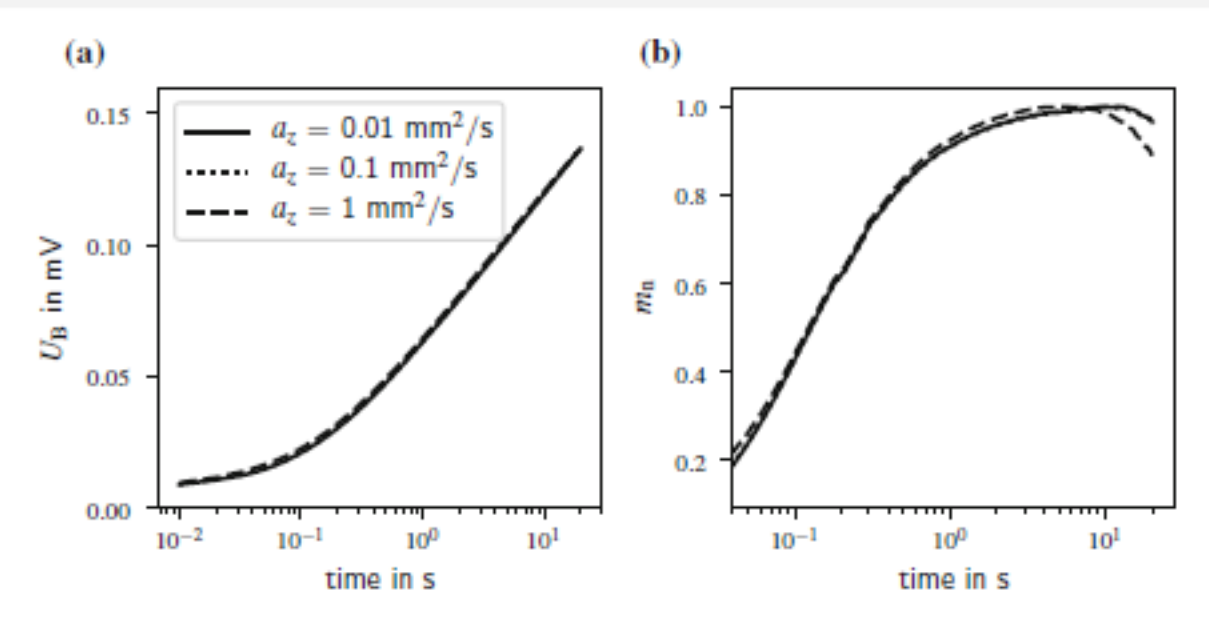


Fig. 3 Simulated bridge voltage (a) and the derived normalized slope (b) plotted against the time for various  $a_z$ , with  $a_x = a_y = 0.1 \, \text{mm}^2 \cdot \text{s}^{-1}$ 

J. Gaiser, M. Stipf, F. Henning, Int. Journal of Thermophysics 2019, 40:12



# Beispiel 2: Anisotropie

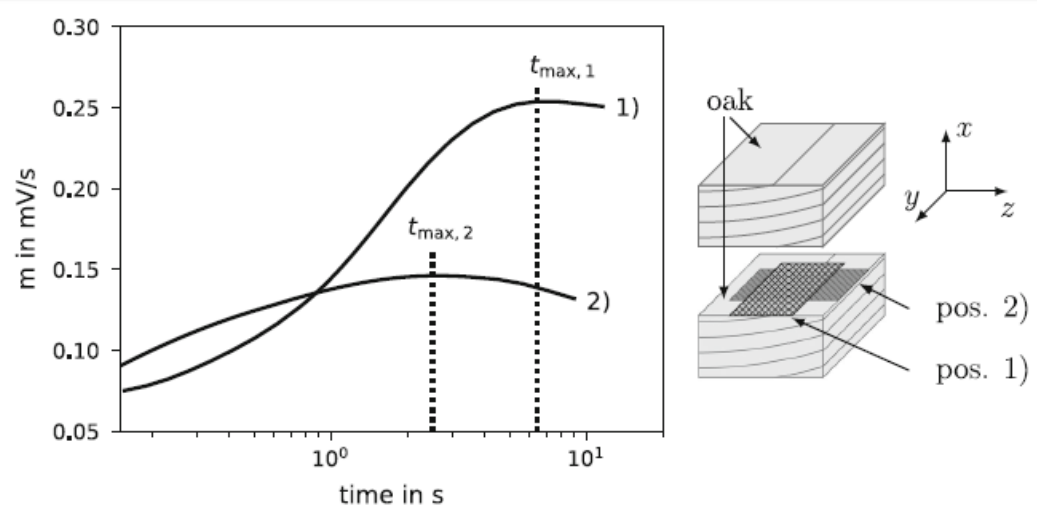


Fig. 10 Logarithmic slope of the measured bridge voltage and the corresponding time  $t_{\max,i}$  of oak for two different sensor positions

Table 3 Comparison of the direction-dependent thermal conductivity of oak using different measuring methods

	$^{\lambda_{\chi}}_{(W\cdot m^{-1}\cdot K^{-1})}$	$^{\lambda y}_{(W\cdot m^{-1}\cdot K^{-1})}$	$^{\lambda_{z}}_{(W\cdot m^{-1}\cdot K^{-1})}$
THB	$0.26 \pm 0.02$	$0.38 \pm 0.04$	$0.15 \pm 0.01$
HFM	$0.27 \pm 0.01$	$0.38 \pm 0.02$	$0.16 \pm 0.01$
Lagüela et al. [15]	$0.22 \pm 0.01$	$0.58 \pm 0.03$	$0.21 \pm 0.01$

J. Gaiser, M. Stipf, F. Henning, Int. Journal of Thermophysics 2019, 40:12



# Zusammenfassung

#### THB- Messmethode mit FEM Auswertungen:

- Eliminierung methodenspezifischer
  Auswerteungenauigkeiten (modellfreie Auswertung)
- Minimierung von Anwendungsfehlern
- Erweiterungsmöglichkeiten für komplexe Messaufgaben



#### Vielen Dank für Ihre Aufmerksamkeit!

Dr. Heinz Renner

<u>h.renner@linseis.de</u>

Tel. +49 9287 880 42

